

# بررسی و مقایسه ژئوشیمی توده‌های نیمه‌زرف بازدار و نابارور با نگرشی بر شواهد آدکیت‌ها در محور دهچ-میدوک (شمال شهر بابک)

لیلا برهمند<sup>۱</sup>، منصور قربانی<sup>۲\*</sup> و سید محمد پور معافی<sup>۳</sup>

<sup>۱</sup>دانشجوی دکترا، گروه زمین‌شناسی، دانشکده علوم زمین، دانشگاه شهید بهشتی، تهران، ایران

<sup>۲</sup>دانشیار، گروه زمین‌شناسی، دانشکده علوم زمین، دانشگاه شهید بهشتی، تهران، ایران

تاریخ دریافت: ۱۳۹۵/۰۶/۰۹ تاریخ پذیرش: ۱۳۹۵/۱۲/۰۳

## چکیده

محور دهچ-میدوک در شمال شهر بابک جای دارد. در این منطقه، در مجموع ۹ توده پورفیری نیمه‌زرف شامل میدوک، پرکام، ایجو، سقینو، چاه‌فیروزه، نرکوه، ایوب انصار، سرا و کدر با سن الیگومن تا پلیوسن دیده می‌شود که از میان آنها توده‌های پرکام، ایجو، سقینو، چاه‌فیروزه و میدوک ایوب انصار، سرا و کدر نابارور هستند. ترکیب این توده‌ها بیشتر شامل دیوریت پورفیری، کوارتزدیوریت و گرانودیوریت است. بر پایه مطالعات ژئوشیمیایی مشخص شد که مآگمایی مجموعه موربد پرسی، سرشت پرآلومن تا متاآلومین دارد و سری مآگمایی آن از نوع کالک‌الکالن پتاپسیم بالا و شوونیتی است. همچنین بررسی نمودارهای تغییرات اکسیدهای اصلی و عناصر فرعی، طیف پیوسته‌ای میان ترکیبات سنگ‌های مورد مطالعه نشان می‌دهد که نشان‌دهنده انجام تفرقی مآگمایی گستردگ در طی تبلور است. شواهد صحرایی و ژئوشیمیایی نشان می‌دهد که فعالیت مآگمایی محور دهچ-میدوک از نوع I است. همه داده‌ها نشان می‌دهند که سنگ‌های موربد مطالعه، حاصل فرواشن پوسته اقیانوسی نوتیس به زیر پوسته قاره‌ای ایران مرکزی هستند. در بخش‌هایی از منطقه موربد مطالعه، فرواشن تخت رخ داده و به همین سبب، نرخ ذوب بخشی نیز پایین است و در نتیجه سنگ‌های آدکیتی تشکیل شده‌اند. این سنگ‌های آدکیتی، توده‌های نفوذی زمان پلیوسن را تشکیل داده‌اند و به سبب اینکه مآگما در مراحل پیشین فعالیت مآگمایی و در طی تشکیل توده‌های بارور، عناصر فلزی خود را از دست می‌دهد، کانه‌زایی ندارد و نابارور است.

**کلیدواژه‌ها:** محور دهچ-میدوک، فرواشن، کمریند مآگمایی ارومیه-دختر، فعالیت مآگمایی آدکیتی.

\*نویسنده مسئول: منصور قربانی

E-mail: m\_ghorbani@hotmail.com

## ۱- پیش‌نوشتار

Hasanzadeh., 1993; Jung et al., 1975; Etminan, 1991 Moine-Vaziri et al., 1991 اشاره کرد. در این نوشتار سعی بر آن است که با تکیه بر نتایج حاصل از روابط صحرایی بخش‌های مختلف منطقه موربد مطالعه، مشاهدات کانی‌شناسی و همچنین داده‌های ژئوشیمیایی، به بررسی چگونگی ژنز توده‌های نفوذی بارور و نابارور، منشأ مآگمایی سازنده و فرایندهای مؤثر در تحول و تکامل آن در منطقه موربد مطالعه پرداخته و همچنین ویژگی‌های توده‌های بارور و نابارور با هم‌دیگر مقایسه شود و در پایان شواهد وجود فعالیت مآگمایی آدکیتی در این منطقه مورد واکاوی قرار گیرد.

## ۲- زمین‌شناسی عمومی

منطقه موربد مطالعه در کمریند مآگمایی ارومیه-دختر و در پهنه مآگمایی مس دار کرمان، در شمال شهر بابک جای دارد (شکل ۱).

کهن ترین واحد زمین‌شناسی در این منطقه، فیلیش‌های اثوسن-پالوسن هستند (قربانی ۱۳۸۷). سنگ‌شناسی فیلیش‌ها شامل مارن ماسه‌ای، آهک ماسه‌ای، مارن سیلتی، آهک و کنگلومراست. اما باید اذعان داشت که پیکره اصلی سنگی محور دهچ-میدوک و پیرامون آن را سنگ‌های مآگمایی تشکیل می‌دهند. فعالیت مآگمایی ترشیری در محور دهچ-میدوک که بخشی از زیرپهنه آبد-دهچ است؛ ۵ فاز اصلی به قرار زیر دارد (قربانی، ۱۳۸۶): ۱) فاز آتشفسانی اثوسن زیرین و میانی که با فعالیت‌های بازالتی-آندزیتی شروع می‌شود و توده‌های کوچک نفوذی از نوع گابرو تا دلریت آن را همراهی می‌کنند؛ ۲) فاز آتشفسانی اثوسن بالایی-الیگومن که بیشتر ترکیب اسیدی دارند و سنگ‌های آن روی واحد آندزیتی-بازالتی اثوسن کار می‌گیرند؛ ۳) فاز سوم توده‌های نفوذی پورفیری هستند. در محور دهچ-میدوک، در مجموع ۹ توده پورفیری نیمه‌زرف شامل میدوک، چاه‌فیروزه، پرکام، ایجو، سقینو، نرکوه، ایوب انصار، سرا و کدر دیده می‌شود که از میان آنها توده‌های پرکام، میدوک، چاه‌فیروزه، ایجو، سقینو بارور و توده‌های نرکوه، ایوب انصار، سرا و کدر نیز نابارور هستند. این توده‌های نفوذی در سنگ‌های آتشفسانی فاز اول و دوم نفوذ

ناحیه دهچ-میدوک بخشی از کمریند مآگمایی ارومیه-دختر است و در بخش جنوبی کمریند مس دار کرمان در شمال-شمال خاور شهرستان شهر بابک جای دارد. سنگ‌های این ناحیه، بخشی از کمریند مآگمایی ارومیه-دختر در باخته و مرکز ایران هستند. این کمریند در اثر فعالیت مآگمایی زمان ترشیری و فرواشن صفحه عربی به زیر صفحه ایران به وجود آمده است (Berberian and Berberian, 1981). با توجه به مطالعاتی که به تازگی انجام شده، سنگ‌های از منطقه موربد مطالعه، جزو سنگ‌های حاشیه فعال قاره‌ای به شمار می‌آیند (Aghazadeh et al., 2015). بنابراین لازم است که منشأ این مجموعه نفوذی با دقت مطالعه شود. زیرا محیط‌های فرواشن یکی از پیچیده‌ترین محیط‌های زمین ساختی هستند و مشاهدات گوناگونی همچون گوه گوشته‌ای، پوسته اقیانوسی فروارانده، رسوبات فروارانده شده و پوسته زیرین، در تعیین ترکیب مآگما در این مناطق نقش دارند (Wilson, 1989). از سوی دیگر، فرایندهای متفاوتی مانند آبزدایی قطعه فرورونده، ذوب بخشی، تفرقی بلوری، آغشتنگی مآگمایی و آمیختگی مآگمایی نیز می‌توانند روی تکامل این مآگمایها مؤثر باشند. بر پایه این مدل ژئوپارامیکی و مآگمایی (فرواشن)، طی دوره کرتاسه تا اواخر ترشیری، در بخش‌های گستردگی از پهنه ساختاری ایران، بهویژه در کمریند مآگمایی ارومیه-دختر، توده‌های نفوذی کالک‌الکالن در ارتباط با محیط فرواشن و حاشیه فعال قاره‌ای به صورت توده‌های هزمان با برخورد تا توده‌های پس از برخورد تشکیل می‌شوند. همچنین باید خاطر نشان کرد که این فعالیت مآگمایی در منطقه کرمان از دید کانی سازی مس غنی است؛ به گونه‌ای که در برخی از توده‌های نفوذی، مس پورفیری تشکیل می‌شود و حال آنکه برخی دیگر از توده‌های نفوذی نابارور و بدون کانی زایی هستند. مطالعات گستردگی از در این منطقه انجام شد که از جمله می‌توان به مرادیان شهر بابکی (۱۳۶۹)، ییانگرد (۱۳۷۸)، اسدی پور (۱۳۸۱)، احمدی پور فرسنگی (۱۳۷۲)، قزوینی (۱۳۷۱)، قربانی (۱۳۷۷)، عطابور (۱۳۸۶)، عطابور و آفتانی (۱۳۸۸)، پروین پور (۱۳۸۶)، رسولی و همکاران (۱۳۹۴)، Aghazadeh et al., 2015; Amidi, 1977; Berberian et al., 1982; Biju-Duval et al., 1977; Emami, 1981; Forster et al., 1972;

در این سنگ‌ها شکل سوزنی دارد و به صورت ادخال در بیوتیت دیده می‌شود (شکل ۲-الف). همچنین در این سنگ‌ها پیروکسن به صورت بلورهای بسیار درشت است که در زمینه ریزبلور قرار گرفته است (شکل ۲-ب). همان‌گونه که اشاره شد بخش دیگری از سنگ‌های نفوذی را گرانوپوریت‌ها تشکیل می‌دهند که دارای ترکیب کانی‌شناسی تقریباً مشخصی مانند: کوارتز ۲۲٪، پلاژیوکلاز ۵۱٪، آلکالی‌فلدspar (میکروکلین و ارتوكلاز) ۸٪، بیوتیت ۷٪، هورنبلند سبز ۱۱٪) هستند و به مقدار خیلی کم کانی‌های آپاتیت، زیرکن و اسفن هم دیده می‌شود که نسبت حجمی هر یک از کانی‌ها در نمونه‌های مختلف کمی متفاوت است. در مشاهدات میکروسکوپی مشخص شد که بیوتیت به کلریت، اسفن، روتل، تیتانیت و اکسید آهن تجزیه می‌شود. پلاژیوکلاز در برخی مقاطع بافت منطقه‌ای (زونینگ) دارند (شکل ۲-پ) و در برخی مقاطع دیگر نیز به سریسیت و مسکوویت (کم)، زوئیزیت و دیگر کانی‌های رسی تجزیه می‌شوند (شکل ۲-ت). افزون بر این، رخمنونهای کوارتز دیوریتی تا توانالیتی به صورت پراکنده در میان یا حاشیه بخش‌های گرانوپوریتی دیده می‌شود که به صورت سری تحولی موضعی و بدون سطح تماش مشخص با آنها حضور دارند. کانی‌های اصلی کوارتز دیوریت عبارتند از پلاژیوکلاز ۵۵٪، کوارتز ۱۶٪، ارتوكلاز ۵٪، آمفیبول ۱۲٪ و بیوتیت ۷٪. برخی بلورهای پلاژیوکلاز و ارتوكلاز به سریسیت و به کانی‌های رسی تجزیه شده‌اند. آفیبول به صورت بلورهای نیمه‌شکل دار با ابعاد دانه متوسط دیده می‌شود و آثار دگرسانی به بیوتیت و اپیدوت در برخی از بلورهای آن دیده می‌شود. بیوتیت به مقدار زیاد به صورت شکل دار تا نیمه‌شکل دار است و چند رنگی قهوه‌ای تیره تا زرد روشن دارد (شکل ۲-ث). کوارتز به صورت بی‌شکل با ابعاد دانه‌های متوسط، فضای میان بلورهای دیگر را پر می‌کند. در برخی مقاطع نیز به مقدار خیلی کم می‌توان کانی پیروکسن را دید. پیروکسن در سیاری از مقاطع این سنگ‌ها تجزیه و به کلریت و کلسیت تبدیل می‌شود (شکل ۲-ج). همچنین می‌توان رگه‌های داخلی تیره رنگی را درون توده آذرین دید که سرشار از کانی‌های فرومیزین (هورنبلند سبز و بیوتیت) هستند. این رگه‌ها افزون بر درشت‌بلورهای پلاژیوکلاز در برخی نمونه‌ها زینوکریست‌های کوارتز دارند که از رگه‌های کوارتزی مجاور گرفته می‌شود و بیانگر تقدم تزریق مذاب سیلیسی بر تزریق مذاب بازیک در این مناطق است. ترکیب این رگه‌ها شامل پلاژیوکلاز (۳۰٪، بیوتیت ۵۵٪، هورنبلند سبز ۸٪، زوئیزیت ۳۶٪)، کلریت، اپیدوت، آپاتیت و اسفن در یک مجموعه دیوریتی بافت ریزدانه تا پورفیری است. دایک‌ها و رگه‌های کوارتزی و آپاتیت از مهم‌ترین بخش‌های مشاهدات صحرایی هستند که در بخش‌های حاشیه‌ای توده‌های نفوذی و حتی درون واحدهای آذرین حضور دارند.

## ۵- ژئوشیمی

### ۵-۱. ژئوشیمی عناصر اصلی و کمیاب

به منظور بررسی تحولات ماقمایی سنگ‌های منطقه، از نمودار Harker (1909) استفاده شد. تغییرات عناصر اصلی و کمیاب در  $\text{Pb}$ ,  $\text{SiO}_2$ ,  $\text{Al}_2\text{O}_3$ ,  $\text{CaO}$ ,  $\text{Fe}_2\text{O}_3$ ,  $\text{MgO}$  و  $\text{TiO}_2$  روند منفی و کاهشی مقادیر  $\text{Th}$ ,  $\text{Pb}$ ,  $\text{P}_2\text{O}_5$ ,  $\text{Nb}$ ,  $\text{Ce}$ ,  $\text{K}_2\text{O}$ ,  $\text{Na}_2\text{O}$  و  $\text{Zr}$  است. البته تفرقی در این منطقه، با تحولات ماقمایی دیگری مانند آمیختگی و یا فرایندهای گرمابی نیز همراه است که آثار این تحولات به صورت پراکنده‌گی عناصر در برخی نمودارها دیده می‌شود.

### ۵-۲. سری ماقمایی و جایگاه زمین‌ساختی

برای تعیین سری ماقمایی سنگ‌های مورد مطالعه از نمودار Peccarillo and Taylor (1976) استفاده شد. بر طبق این نمودار، بیشتر نمونه‌های متعلق به توده‌های بارور در محدوده کالک‌آلکالن پاتسیم بالا جای می‌گیرند. حالی که بیشتر نمونه‌های توده‌های نابارور در محدوده شوشوئیتی قرار گرفته‌اند (شکل ۳-الف). همچنین نمودارهای عناصر کمیاب نیز حضور نمونه‌های متعلق

می‌کنند و از دید کانی‌سازی مس پورفیری اهمیت دارند و معادن مس پورفیری چاه‌فیروزه و میدوک در این فاز قرار می‌گیرند؛<sup>(۴)</sup> فاز آتش‌شانی و نیمه‌آتش‌شانی میو-پلیوسن که این فاز یکی از مهم‌ترین فازهای ماقمایی در محور دهچ-میدوک است. بیشتر قله‌های منطقه (کوه ایوب، مردوار و کوه‌های مسیر دهچ-کدر) که ریخت‌شناسی خشن دارند و تک کوه‌های منطقه را تشکیل می‌دهند؛ متعلق به این فاز هستند. ترکیب سنگ‌های این فاز داسیتی و ریوداسیتی است؛<sup>(۵)</sup> فاز نیمه‌آتش‌شانی و آتش‌شانی پلیوکواترنر که آخرين و جوان‌ترین فاز ماقمایی منطقه است و حاصل آن تشکیل دو گنج عاج بالا و پایین است. در طی مشاهدات صحرایی و بررسی ارتباطات صحرایی توده‌های نفوذی با سنگ میزان، به نظر می‌رسد که ماقمایی در هنگام جایگزینی گرانوژی زیادی دارد و در مراحل آخر انجام است. به این دلیل که در صحرا می‌توان درزه‌های فراوانی در سنگ‌های فراوانی در منطقه می‌شوند. از دینک‌های این منطقه به فراوانی درزه‌های بارور می‌توان دید. ج) درزه‌های پس از سرد شدن توده که در این حالت معمولاً درزه‌ها خالی از هر گونه ماده معدنی هستند. این نوع درزه‌ها را در توده‌های نابارور می‌توان دید. همچنین شکل محل همیری‌ها در توده‌های بارور بیشتر بلوکی و سینوسی و در توده‌های نابارور هم راست و مستقیم و محل همیری‌های توده‌های نابارور بیشتر تیز و ناگهانی است؛ همیری تدریجی در محل برخورد توده‌های بارور با سنگ‌های آتش‌شانی دیده می‌شود. به نظر می‌رسد نفوذ ماقمایی هم‌مان با تغییر شکل سنگ میزان رخ می‌دهد زیرا داده‌های ژئوشیمیابی نیز این مشاهدات صحرایی را تأیید می‌کنند. در انتها اینکه هیچ گونه آثار و شواهد دگرگونی و هاله دگرگونی در این منطقه دیده نمی‌شود.

## ۳- روش مطالعه

پس از بازید صحرایی کامل از منطقه، از همه واحدهای نفوذی نمونه‌برداری صورت گرفت. ۱۲۰ مقطع نازک از سنگ‌ها برداشت شد و توسط میکروسکوپ پلاریزان به منظور مطالعات کانی‌شناسی، سنگ‌شناسی، بافتی و تعیین ارتباطات کانی‌ها مورد استفاده قرار گرفت. سپس از میان نوع‌های مختلف سنگی ۲۲ نمونه از توده‌های بارور و ۱۱ نمونه از توده‌های نابارور نمونه سالم و کمتر دگرسان به منظور تجزیه عناصر اصلی به روش XRF در آزمایشگاه شرکت مطالعات معدنی زرآما و نیز تجزیه عناصر کمیاب و خاکی کمیاب به روش ICP-MS در آزمایشگاه ژئوشیمی Actlabs کشور کانادا تجزیه شد که در جدول ۱ نتایج این تجزیه‌ها آمده است. در ادامه به کمک نرم‌افزارهای کامپیوتری (GCDkit، Petrograph و Corel Draw) داده‌های حاصل، پردازش و نمودارهای ژئوشیمیابی مورد نظر استخراج شد که در ادامه مورد بحث قرار می‌گیرند.

## ۴- سنگ‌نگاری

بر پایه مشاهدات صحرایی و مطالعات میکروسکوپی ۱۲۰ مقطع نازک از توده‌های نفوذی محور دهچ-میدوک مشخص شد که می‌توان در حالت کلی سنگ‌های نفوذی این منطقه را به دو بخش اصلی: ۱) دیوریت پورفیری (شامل دیوریت، موزنودیوریت و کوارتزموزنودیوریت) و ۲) گرانوپوریت پورفیری (شامل گرانوپوریت همراه با توانالیت و کوارتزدیوریت که بدون مرز مشخصی با هم هستند) تقسیم کرد. دیوریت‌های پورفیری بیشتر این توده‌های نفوذی نیمه ژرف را تشکیل می‌دهند. مجموعه کانی‌شناسی در دیوریت‌های پورفیری شامل: پلاژیوکلاز (۵۸٪، هورنبلند سبز ۱۷٪، بیوتیت ۹٪، پیروکسن ۷٪، کوارتز ۳٪)، اورتوکلاز (۳٪، آپاتیت، اسفن و زوئیزیت به همراه کانی‌های کدر، کلریت و برخی موقع الیون و سریسیت بافتی ریزدانه تا پورفیری است. کانی آپاتیت

نمونه‌ها، طیف ترکیب شیمیایی گسترهای در مقدار  $\text{SiO}_2$ ، روند منفی  $\text{PbO}$  و  $\text{CaO}$ ، در مقدار  $\text{SiO}_2$  در برابر  $\text{K}_2\text{O}$  در طول تبلور ماگما و روند خطی و منحنی شکل (زنگوله) (Chappell and Millward, 2000). در مانند از ویژگی‌های گرانیتوییدهای دما بالاست (Chappell and Millward, 2000).

تغیین سری‌های ماگمایی سنگ‌های محور دهنج-میدوک، همه نمونه‌های در سری ماگمایی کالک‌آلکالن و شوشوینی قرار می‌گیرند. بر پایه بررسی‌های انجام شده روی عناصر کمیاب، سنگ‌های منطقه مورد مطالعه به گرانیتوییدهای کمان‌های آتشفسانی و قاره‌ای پیش و هنگام برخورد و حاشیه فعل قاره‌ای تعلق دارند. همچنین بررسی‌های انجام شده روی کانی‌های این مجموعه (بخصوص بیوتیت و آمفیبول)، بیانگر بافرینگ اکسیژن بالا هستند و به شرایط اکسیدان اشاره دارند (برهمند و همکاران, ۱۳۹۵). به باور Ewart (1979) مقادیر بالای فوگاسیته اکسیژن در ماگما، بیانگر محیط فروراشی است.

بنابراین بر پایه نتایج مطالعه حاضر و موارد یاد شده (الف، ب و پ)، به نظر می‌رسد سنگ‌های نفوذی منطقه مورد مطالعه که در کمرنند ماگمایی ارومیه-دختر جای دارند؛ در زمان اونسن بخشی از یک کمان ماگمایی فعل باشد و شاهد آن هم حجم بسیار سترگ سنگ‌های گوناگون آتشفسانی در منطقه است. به طور کلی می‌توان گفت کمرنند ماگمایی ارومیه-دختر در محور دهنج-میدوک، ویژگی‌های جزایر کمانی و در حال تکوین به یک حاشیه قاره‌ای فعل را دارد (Rasouli et al., 2016) و نتایج داده‌های ژئوشیمیایی این پژوهش نشان می‌دهند که فعالیت ماگمایی نفوذی منطقه مورد مطالعه، از نوع کالک‌آلکالن پاتسیم بالای کمان‌های آتشفسانی حاشیه فعل قاره‌ای است. چگونگی رخداد فرایندها را می‌توان به قرار زیر بیان کرد.

**- مرحله (دو) انجام عمل فروراش و تشریح تغییرات روی پوسته فروراونده شده:**

بالا بودن مقدار  $\text{K}_2\text{O}$  و آب در سنگ‌های غیر دگرسان، به دلیل رشت پاتسیمی و شوشوینی سنگ‌های غیر دگرسان در محور دهنج-میدوک و نیز وجود مقادیر قابل توجهی آب و  $\text{K}_2\text{O}$  پوسته اقیانوسی و یا گوه گوشته‌ای است. پژوهشگران بر این باورند که منبع اصلی آب، پاتسیم، روپیدیم، کلر، فلوئور، فسفر، سدیم، اورانیم، توریم و بسیاری دیگر از عناصر ناسازگار، در کمان‌های آتشفسانی، آبزدایی پوسته اقیانوسی فرو رو است (Barker, 1983; Ulmer, 2001). زیرا این گروه از عناصر ناسازگار، در گوه گوشته‌ای کمتر متمن کر می‌شوند. این عناصر بیشتر در سنگ‌های رسوبی دگرگون شده شیلی متمن کر می‌شوند که میان گدازه‌های بازیک پوسته اقیانوسی جای دارند (Ulmer, 2001). در اثر دگرگون شدن پوسته اقیانوسی به اکلوژیت فلوجوپیتی و ذوب بخشی آن، مذاب‌های حد واسط و اسیدی به وجود می‌آیند که پتانسیل فراوانی در تشکیل کانسارهای پورفیری دارند. ذوب بخشی اکلوژیت آب‌دار (با درصد ذوب بخشی پایین) می‌تواند در ژرفای ۱۵۰ کیلومتری، مذاب‌های اسیدی تولید کند که پس از تغیری بخشی، سبب تشکیل کمان‌های قاره‌ای و کانسارهای پورفیری می‌شوند (Thorpe, 1982). رسویات شیلی ژوراسیک و کرتاسه منطقه مورد مطالعه که در لابه‌ای گدازه‌های بالشی پوسته اقیانوسی فرورونده وجود دارند، دارای مقادیر زیادی سدیم و پاتسیم و دیگر عناصر هستند که طی واکنش‌های دگرگونی می‌توانسته‌اند به اکلوژیت سدیم و پاتسیم و دیگر عناصر هستند که طی واکنش‌های دگرگونی می‌توانند فلوجوپیت دار تبدیل شوند (Katie et al., 2014).

**- مرحله (سوم) انجام فرمان‌های آتشفسانی اونسن (معروف به فرایندهای آتشفسانی اونسن کمرنند ماگمایی ارومیه-دختر و تولید کمان‌های قاره‌ای):**

ذوب پوسته اقیانوسی فرورو و گوه گوشته‌ای، کمان‌های آتشفسانی ارومیه-دختر را ساخته است. به همراه واحدهای آتشفسانی اونسن در این بخش از کمرنند آتشفسانی ارومیه-دختر، سنگ‌های آذرآوری با ترکیب اسیدی نیز دیده می‌شوند. به نظر می‌رسد که گدازه‌های اسیدی بیشتر از ذوب پوسته اقیانوسی در ژرفای کم و با درصد ذوب بخشی پایین (شبیت کم فروراش) به وجود آمدند (عطاپور، ۱۳۸۶). زیرا ذوب گوه گوشته‌ای حتی با نرخ پایین ذوب، نمی‌تواند مذاب‌های اسیدی تولید کند (Wang et al., 2006). بنابراین فرمانی گدازه‌های اسیدی در منطقه مورد مطالعه، بیانگر درصد ذوب بخشی کم پوسته اقیانوسی فرورونده باشیب کم صفحه فروراش

به توده‌های بارور را در محدوده کالک‌آلکالن و حضور بیشتر نمونه‌های توده‌های نابارور را در محدوده شوشوینی تأیید می‌کند (شکل ۳-ب). همچنان که دیده می‌شود؛ در نموادر تغییرات  $\text{K}_2\text{O}-\text{SiO}_2$  نیز، بسیاری از سنگ‌های توده‌های بارور در سری ماگمایی کالک‌آلکالن پاتسیم بالا جای دارند؛ در برابر آن سنگ‌های توده‌های نابارور در محدوده شوشوینی فوق پاتسیمی جانمایی شده‌اند (شکل ۳-پ). همچنین با استفاده نموادر تعیین شاخص اشاع از آلومین مشخص شد که سنگ‌های منطقه مورد مطالعه بیشتر در محدوده متاآلومین و به مقدار کمتر در محدوده پر آلومین جای گرفته‌اند (شکل ۳-ت). در تعریف آدکیت‌ها آمدۀ که این سنگ‌های هم به صورت خروجی و هم به صورت نفوذی به وجود می‌آیند؛ از سویی باید شرایط کمان‌های قاره‌ای و جزایر کمانی یافته شوند. از سوی دیگر، آدکیت‌ها حاصل ذوب پوسته اقیانوسی آمفیولیتی یا اکلوژیتی با شبکه کم (فروراش تخت) هستند (Gutscher, 2002). همه شواهد در توده‌های نابارور دیده می‌شود که با قرار دادن نمونه‌ها در نموادر  $\text{Yb}/\text{Sr} > 20$  (Tأیید می‌شود (شکل ۳-ث). این نموادر به روشنی نشان می‌دهد که سنگ‌های توده‌های بارور محور دهنج-میدوک در محدوده آدکیت قرار می‌گیرند (در بخش بحث، سازوکار تشکیل شدن تشریح شده است).

به منظور بررسی تحولات سنگ‌های توده‌های مورد مطالعه طی چرخه کوهزایی، از نموادر (1985) استفاده شد (شکل ۴-الف). طبق این نموادر، سنگ‌ها بیشتر در محدوده‌های ۲ و ۴ جانمایی می‌شوند و بنابراین جزو سنگ‌های پیش از برخورد و همزمان با برخورد به شمار می‌آیند. البته چندین نمونه نیز در محدوده ۶ قرار می‌گیرند که احتمالاً ناشی از تاثیر فرایندهای همچون آلایش پوسته‌ای است. در پایان اینکه بر پایه اطلاعات حاصل از تقسیم‌بندی Maniar and Piccoli (1989) نموادرهای مربوطه رسم و در مجموع مشخص شد که این سنگ‌ها در محدوده سنگ‌های ناشی از نوع I قرار دارند و با توجه به دیگر شواهد ژئوشیمیایی در زیر مجموعه سنگ‌های مناطق CAG قرار گرفته‌اند (شکل ۴-ب و پ).

## ۶- بحث

در اینجا ترتیب توالی پدیده‌ها در طی پنج مرحله، با استفاده از داده‌های این نوشتار و همچنین رفنسن‌های مورد اشاره شرح داده شد:

**- مرحله اول:** بر پایه معیارهای زیر احتمالاً سنگ‌های نفوذی محور دهنج-میدوک جزو گرانیتوییدهای نوع I دما بالا (نوع کردیلرای) هستند: (الف) شواهد صحرایی: موقعیت توده‌ها در یک نوار کوهزایی با روند شمال باخترا-جنوب خاور، همراه با سنگ‌های آتشفسانی با ترکیب آندزیتی و داسیتی و همچنین نبود سنگ‌های دگرگونی گرمایی دمابالا در مجاورت توده، حضور انکلاوهای میکروگرانولار مافیک، با ترکیب کوارتزدیوریتی، آثار کانه‌زایی آهن و مس و لخته‌های مافیک متشکل از هورنبلند و بیوتیت در سنگ‌های منطقه، از نشانه‌های صحرایی گرانیتوییدهای نوع I دما بالا (نوع کردیلرای) است (Chappell and Millward, 2000). (ب) پتروگرافی: حضور هورنبلند سبز، چندرنگی کاهی تا شکلاتی بیوتیت و رنگ قهوه‌ای آن، حضور مگنتیت شانگر فوگاسیته بالای اکسیژن، اسفن شکل دار اولیه، فلدسپار پاتسیم به صورت میان‌دانه‌ای و بی‌شکل و با رنگ صورتی رنگ (گوشتشی)، حضور آپاتیت‌های سوزنی و به صورت ادخال در کانی‌های هورنبلند و بیوتیت، توزیع ناهمگن کانی‌های مافیک مانند هورنبلند و بیوتیت، منطقه‌بندی عادی در پلاژیوکلازها (برهمند و همکاران, ۱۳۹۵) و بلورهای هورنبلند تیغه‌ای در سنگ‌های نفوذی محور دهنج-میدوک، همگی بیانگر نوع I دما بالاست (Chappell and Millward, 2000). (پ) ژئوشیمیایی: متاآلومین بودن

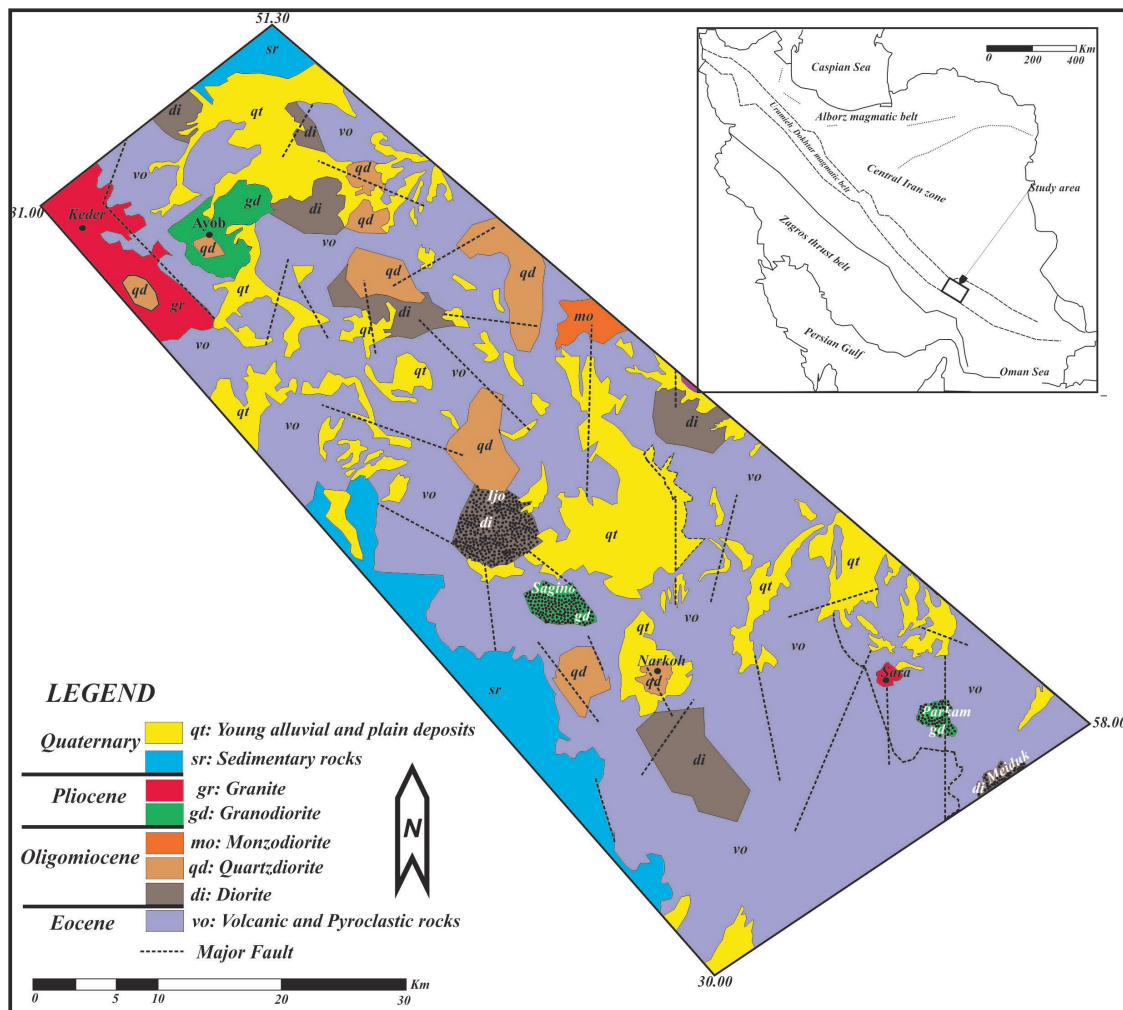
**- مرحله پنجم) تولید ماقمای آدکیتی و تشکیل توده‌های نابارور:** واحدهای رسوبی الیگومیوسن و نئوژن یک وقفه آتشفسانی قابل توجه نشان می‌دهند (عطاطپور، ۱۳۸۶). پدیده‌های ماقمایی پلیوسن در بخش‌های شمال و شمال باختر منطقه مورد مطالعه نمود زیادی دارند و بیشتر دارای ترکیب داسیتی و ریوداسیتی هستند و کوهه مردوار، نرکوه، تریشکوه، مارچ، بیدخان و عاج بالا و پایین با ماهیت آدکیتی، حاصل این فعالیت ماقمایی است. از سوی دیگر، مطالعات انجام شده حضور ترکیبات دیبوریتی و کوارتزدیبوریتی را در هسته داسیت‌های دهچ، نرکوه، ایوب انصار، کدر و عاج بالا و پایین گشوده می‌کند (Dimitrijevic, 1983). همان‌طور که اشاره شد بر پایه مطالعات انجام شده، ذوب پوسته اقیانوسی با شبیه تقریباً افقی (فروزانش تخت)، می‌تواند ماقمای آدکیتی تشکیل دهد (Haschke et al., 2002). بنابراین ماقمایی مادر سنگ‌های داسیتی و ریوداسیتی از ذوب قطعه فروزانده کم‌شب در این دوره زمانی به وجود آمداند. حضور سنگ‌های داسیتی و ریوداسیت‌های آدکیتی منطقه، نشانگر ذوب کم پوسته اقیانوسی با شبیه فروزانش کم است. همچنین مذاب‌های اسیدی گرانزوبی بالاتری دارند و با افزایش سترای سنگ‌های آتشفسانی و فشار وارد، توده‌های نفوذی جوان دیبوریتی و کوارتزدیبوریتی را در هسته استراتوولکان به وجود آورده‌اند. با توجه به اینکه بخش زیادی از عناصر کانه‌ساز مانند مس، مولیبدن، سرب، روی، طلا و .... موجود در پوسته اقیانوسی توسط فاز پیشین (توده‌های نفوذی پورفیری متعلق به زمان الیگومیوسن) به صورت کانسارهای پورفیری متصرک شده و کانه‌زایی انجام داده‌اند؛ بنابراین مذاب اسیدی مرحله بعدی (فازهای ماقمایی مرحله پلیوسن) با درصد ذوب بخشی کم، نمی‌تواند دارای مقادیر قابل توجهی مس به عنوان عناصر سازگار باشد و در نتیجه سنگ‌های ماقمایی این مرحله نابارور هستند که توده‌های نابارور محور دهچ - میدوک حاصل این فرایند هستند.

## ۷- نتیجه‌گیری

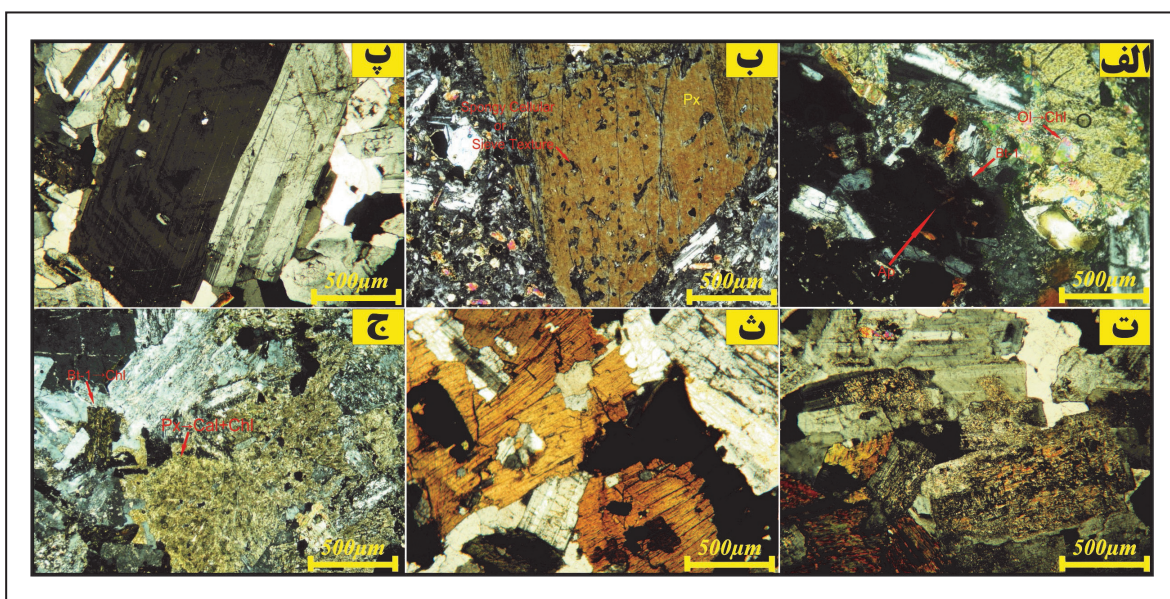
تغییرات عناصر اصلی و کمیاب در برابر  $\text{SiO}_2$ ، یانگر روند منفی و کاهشی مقادیر  $\text{Pb}$ ,  $\text{Nb}$ ,  $\text{P}$ ,  $\text{TiO}_2$ ,  $\text{Al}_2\text{O}_3$ ,  $\text{CaO}$ ,  $\text{Fe}_2\text{O}_3$ ,  $\text{MgO}$ ,  $\text{P}_2\text{O}_5$  و  $\text{R}$ وند مثبت و افزایشی مقادیر  $\text{Zr}$  برای سنگ‌های محور دهچ - میدوک است. این تغییر روندها در عناصر اصلی و کمیاب با پیشرفت فرایند تفریق بلوری ماقمایی همخوانی دارد. سرشت ماقمایی سنگ‌های منطقه مورد مطالعه، شوشونیتی و کالک‌آلکالن پتاسیم بالاست. محیط تکتونوماقمایی سنگ‌های نفوذی منطقه مورد مطالعه حاشیه فعال قاره‌ای است که سبب تشکیل سنگ‌های کمان قاره‌ای شده است. شواهد صحرایی و ژئوشیمیایی نشان می‌دهد که فعالیت ماقمایی محور دهچ - میدوک از نوع I بوده که بر اثر فروزانش و ذوب بخشی پوسته اقیانوسی و آبگیری گوه گوشته‌ای حاصل شده است. در بخش‌هایی از منطقه مورد مطالعه، فروزانش تخت رخ داده که نرخ ذوب بخشی نیز پایین بوده است و به همین سبب سنگ‌های آدکیتی تشکیل شده‌اند. این سنگ‌ها توده‌های نفوذی زمان پلیوسن را تشکیل می‌دهند و به سبب اینکه در مراحل پیشین، ماقما عناصر فلزی خود را از دست داده است؛ بدون کانه‌زایی و نابارور هستند.

است (عطاطپور، ۱۳۸۶). داده‌های دقیقی در مورد شبیه صفحه فروزانش در ایران وجود ندارد. اما با این وجود، کمترین شبیه صفحه فروزانش در ایران را ۲۰ و بیشترین آن را ۷۰ درجه فرض کرده‌اند (Berberian and King, 1981). با افزایش شبیه صفحه فروزانش و افزایش درجه ذوب بخشی پوسته اقیانوسی و تا اندازه‌ای گوه گوشته‌ای، ماقمایی حد老子 و ماقمایی بازالتی به وجود می‌آید. بنابراین کمان‌های قاره‌ای در ائوسن، مهم‌ترین فعالیت‌های ماقمایی در محور دهچ - میدوک بوده‌اند که در ابتدا در اثر شبیه کم صفحه فروزانش و درصد ذوب بخشی کم، مذاب‌های اسیدی و در پایان با افزایش شبیه صفحه فروزانش و در نتیجه افزایش مذاب حاصل از ذوب بخشی، مذاب‌های حد老子 و بازیک نیز به وجود آورده‌اند.

**- مرحله چهارم) چکونگی کاهش شبیه صفحه فروزانش و تولید توده‌های نفوذی بارور:** در این مرحله ابتدا فوران‌های آتشفسانی مرحله سوم قطعه می‌شود و دریا پیشروی می‌کند. پیشروی دریا سبب رسوپ گذاری بخش‌های پایینی سازند قم و سازند سرخ بالایی روی سنگ‌های آتشفسانی پیشین می‌شود (عطاطپور، ۱۳۸۶). توقف فعالیت‌های آتشفسانی که در نتیجه بالا آمدن گوه گوشته‌ای انجام می‌شود (Haschke et al., 2002)؛ سبب کاهش شبیه صفحه فروزانش می‌شود و فروزانش تخت (flat subduction) ایجاد می‌کند. بر پایه بررسی‌های انجام شده مشخص شد که در طی فروزانش پوسته اقیانوسی، به دلیل اینکه نبروی فروزانش پوسته در مز تبدیل آن به اکلوزیت از نبروی لیتواستاتیک بیشتر است، بخش‌هایی از پوسته اکلوزیتی شکسته می‌شود (slab break-off) و به درون گوشته فرو می‌رود (Barker, 1983; Moores and Twiss, 1999; Haschke et al., 2002). این پدیده در اثر افزایش ناگهانی وزن حجمی بیشتر پوسته اکلوزیتی ( $2/3$  گرم بر سانتی متر مکعب) نسبت به پوسته بازالتی یا آمفیولیتی ( $2/8$  گرم بر سانتی متر مکعب) رخ می‌دهد. آزاد شدن قطعات اکلوزیتی سبب کاهش وزن پوسته باقیمانده می‌شود و در نتیجه رانده شدن این پوسته باقیمانده به سوی بالا می‌شود و شبیه آن کاهش می‌یابد. در نتیجه می‌توان تصور کرد که ذوب قطعه فروزنده کم‌شب (فروزانش تخت)، منشأ تشکیل ماقمایی آدکیتی کمان قاره‌ای است (Gutscher, 2002). توده‌های نفوذی الیگومیوسن پس از توقف فعالیت‌های آتشفسانی به طور گستردگی و به صورت توده‌های نفوذی با ترکیب چیره دیبوریتی، مونزونیتی، کوارتزدیبوریتی، گرانزدیبوریتی، آپلتیتی و آپلتیتی تشکیل شده‌اند (عطاطپور، ۱۳۸۶). مطالعات زمین دماشارسنگی کانی‌ها نشان می‌دهد که ژرفای جایگزینی توده‌های یادشده میان  $2\text{ تا }5$  کیلومتر متغیر است (برهمدان و همکاران، ۱۳۹۵). فراونی بافت پورفیری و کانی‌های آبدار مانند هورنبلند و بیوتیت در توده‌های نفوذی، نشان‌دهنده تفریق بخشی و سرد شدن مذاب در چند مرحله است. تفریق بخشی شدید و آبدار بودن مذاب می‌تواند سیال‌های ماقمایی زیادی تولید کند که عامل اصلی کانه‌زایی پورفیری در توده‌های پورفیری بارور در منطقه مورد مطالعه است. بنابراین توده‌های نفوذی محور دهچ - میدوک در این زمان، کانه‌زایی زیادی تجربه کرده‌اند که معدن مس پورفیری میدوک و چاه‌فیروزه نمونه‌هایی از این کانه‌زایی هستند.

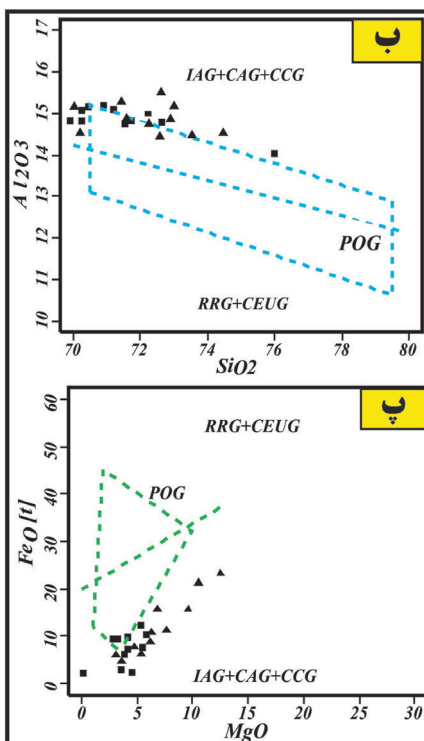
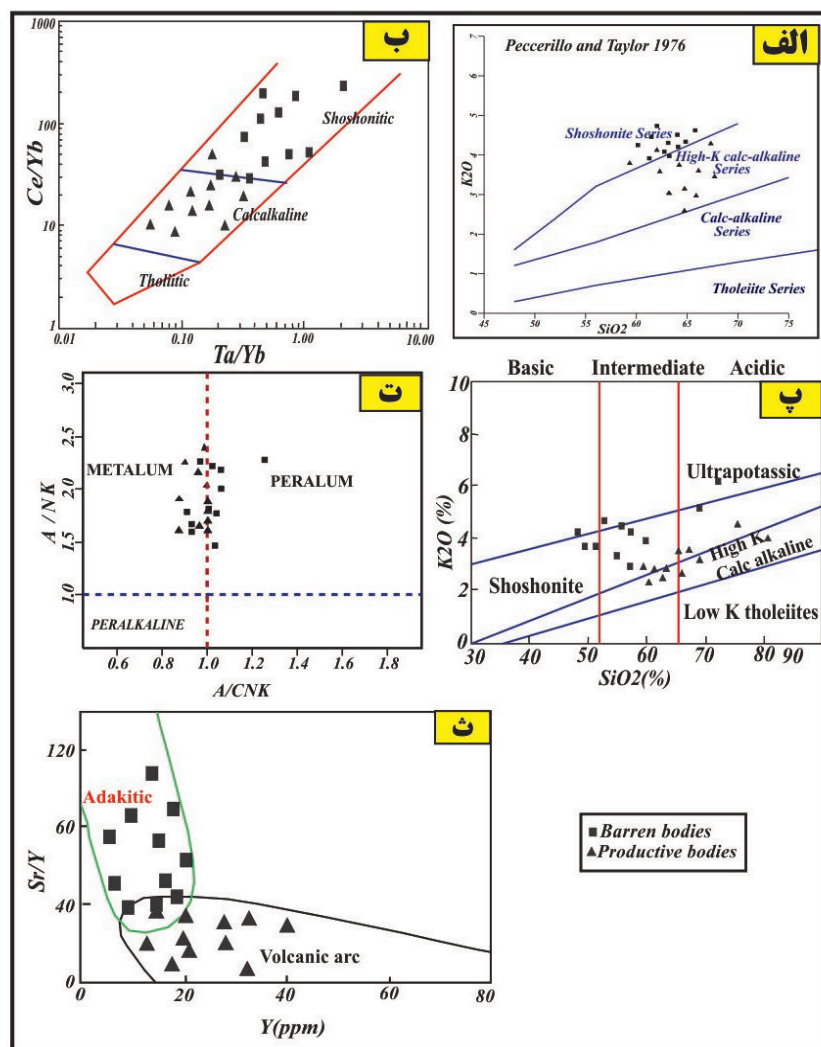


شکل ۱- نقشه زمین شناسی منطقه مورد مطالعه با مقیاس ۱/۲۵۰۰۰۰ (برگرفته از نقشه های زمین شناسی نرم اسیر، سیزوواران و بم با مقیاس ۱/۲۵۰۰۰، تهیه شده توسعه سازمان زمین شناسی و اکتشافات معدنی کشور با تصحیحات)، توده های باردار با نقطه چین مشخص شده اند.



شکل ۲- (الف) حضور کانی آپاتیت به صورت سوزن های نازک درون کانی بیوتیت؛ (ب) حضور بلورهای بسیار درشت پیروکسن به صورت درشت بلور؛ (پ) حضور بلورهای بسیار درشت پلاژیو کلاز که بافت منطقه ای نیز دارند؛ (ت) بلورهای فلدسپار که به فراوانی دچار دگرسانی شده اند؛ (ث) حضور مقدار بسیار فراوان بیوتیت در کوارتزدیبوریت ها؛ (ج) نمایی از پیروکسن در حال تجزیه و تبدیل به کلریت و کلسیت.

شکل ۳- (الف) تعیین سری ماقمایی با بهره‌گیری از نمودار (Peccerillo and Taylor, 1976)  $\text{SiO}_2$ - $\text{K}_2\text{O}$  در برابر  $\text{Ce}/\text{Yb}$ ؛ (ب) نمودار تغییرات  $\text{Ta}/\text{Yb}$  در برابر  $\text{Ce}/\text{Yb}$  که جداگانه سری‌های ماقمایی است (Muller and Groves, 1997)؛ (پ) نمودار  $\text{K}_2\text{O}$ - $\text{SiO}_2$  برای سنگ‌های منطقه مورد مطالعه؛ (ت) تعیین شاخص اشباع از آلمین با بهره‌گیری از نمودار  $\text{Sr}/\text{Y}$ ؛ (ث) نمودار تغییرات  $\text{Y}$  در برابر  $\text{Sr}/\text{Y}$  (Shand, 1943). (Defant and Drummond, 1990)



شکل ۴- (الف) تعیین محیط زمین‌ساختی گرانیتوییدها بر حسب نمودار (Batchelor and Bowden, 1985)؛ (ب و پ) نمودارهای تفکیک موقعیت پتروزنیکی سنگ‌های محور دهچ-میدوک (Maniar and Piccoli, 1989).

جدول ۱- نتایج تجزیه شیمیایی سنگ‌های محور دهچ- میدو- ک (داده‌های عناصر اصلی بر حسب درصد وزنی و داده‌های عناصر فرعی بر حسب بخش در میلیون (ppm) است).

Sample	CHF-1	CHF-6	CHF-20	SEG-1	SEG-7	SEG-19	IJO-1	IJO-10	PAR-1	PAR-7	PAR-14
سنگ نگاری	کوارتزدیبوریت	کوارتزدیبوریت	کوارتزدیبوریت	گرانودیبوریت	کوارتزدیبوریت	گرانودیبوریت	کوارتزدیبوریت	گرانودیبوریت	گرانودیبوریت	مونزودیبوریت	دیبوریت
SiO <sub>2</sub>	۶۳/۰۳	۶۰/۶	۶۳/۱	۶۹/۲۳	۶۳/۶	۶۸/۹۹	۶۳/۸۲	۶۹/۲۴	۶۶/۰۲	۵۹/۹	۴۹/۱
TiO <sub>2</sub>	۰/۲۴	۰/۴۱	۰/۱۸	۰/۲۶	۰/۴۴	۰/۰۵۳	۰/۴۳	۰/۳۷	۰/۰۵۹	۰/۰۵۵	۱/۰۲
Al <sub>2</sub> O <sub>3</sub>	۱۵/۶۵	۱۵/۳	۱۵/۲۷	۱۶/۹۲	۱۶/۰۴	۱۶/۱۳	۱۵/۴۴	۱۶/۶۹	۱۶/۹۶	۱۶/۲۷	۱۸/۵
FeO	۴/۴	۷/۱۸	۴/۰۵	۱/۲۶	۳/۱۹	۳/۹۵	۳/۵۵	۱/۲۸	۳/۳۸	۴/۲۱	۱۱/۳۱
MnO	۰/۱۷	۰/۱	۰/۱	۰/۰۳	۰/۲۶	۰/۱۵	۰/۰۳۸	۰/۰۲۲	۰/۰۰۲	۰/۰۴	۰/۱۳
MgO	۲/۳	۲/۹۴	۲/۱۳	۰/۰۳	۱/۱۶	۱/۸۱	۱/۶۵	۰/۸	۰/۰۸۵	۴/۴	۴/۲۲
CaO	۳/۱۸	۱/۸۷	۴/۰۷	۵/۳۴	۴/۶۴	۴/۹۶	۳/۱۴	۰/۷۶	۱/۰۸	۲/۸۳	۷/۳۱
Na <sub>2</sub> O	۳/۱۴	۲/۷۷	۳/۴۵	۲/۴	۲/۷۸	۲/۰۶	۴/۲۴	۴/۰۳۲	۲/۰۳۵	۴/۰۲۲	۳/۹۷
K <sub>2</sub> O	۳/۱۳	۳/۱	۳/۱۱	۲/۴	۲/۷۸	۲/۰۶	۲/۰۳۲	۴/۹۲	۲/۰۹	۲/۸۳	۰/۸۲
P <sub>2</sub> O <sub>5</sub>	۰/۲۵	۰/۴۱	۰/۱۸	۰/۲۶	۰/۰۲۲	۰/۰۲۴	۰/۰۱۸	۰/۰۱۸	۰/۰۱۶	۰/۱۴	۰/۰۲۹
Total	۹۵/۵	۹۴/۶۸	۹۵/۶۴	۹۸/۹۳	۹۵/۱۱	۹۷/۸۸	۹۵/۱۵	۹۸/۷۸	۹۴/۸	۹۸/۱۹	۹۶/۵۷
Ba	۹۷۳	۹۶۲	۹۴۲	۱۷۲	۸۰۷	۶۲۹	۵۷۳	۵۸۲	۹۵۰	۷۴۷	۳۱۹
Rb	۷۵	۷۷	۷۳	۸۰	۷۸	۵۷	۳۱	۲۴	۸۲	۶۴	۱۸
Sr	۸۱۳	۸۲۲	۷۷۷	۴۰۷	۶۳۴	۹۷۹	۶۰۶	۶۰۷	۵۶۶	۸۱۰	۶۶۳
Zr	۱۱۵	۱۱۳	۱۰۰	۱۱۹	۹۲	۱۳۳	۹۱	۹۱	۱۲۵	۱۱۶	۵۴
Nb	۴	۶	۴	۵	۴	۶	۳	۳	۶	۷	۱
Ni	۲۰	۴۰	۱۹	۱۸	۱۷	۳۰	۱۹	۲۰	۲۰	۱۹	۱۸
Co	۱۴	۲۰	۹	۳	۵	۱۱	۷	۴	۴	۸	۲۸
Cr	۳۰	۵۰	۱۸	۱۹	۱۷	۱۹	۱۸	۲۰	۲۰	۲۰	۱۹
La	۲۹/۳	۳۵/۷	۲۵/۱	۲۴/۹	۲۰/۳	۲۴/۳	۱۷/۲	۱۹/۶	۳۰/۸	۲۷/۴	۶/۱
Ce	۵۴/۴	۶۶	۴۳/۷	۴۵/۳	۳۸	۶۰/۲	۳۲/۲	۳۸/۱	۵۷/۲	۵۳/۴	۱۴/۵
Pr	۵/۹۳	۷/۲۵	۴/۴۱	۴/۱۸۸	۴/۱۵	۵/۲	۳/۴۴	۴/۰۳۵	۶/۱۶	۵/۰۲	۲/۰۴
Nd	۲۱/۵	۲۷/۲	۱۶/۲	۱۹/۵	۱۶/۴	۲۰	۱۳/۱	۱۷/۶	۲۲	۲۲/۶	۱۰/۵
Sm	۳/۷	۴/۵	۳	۳/۳	۳/۱	۳/۷	۲/۳	۲/۴	۴/۲	۴/۲	۳/۱
Eu	۱/۰۸	۱/۳	۰/۱۸۹	۰/۹۹	۰/۹۸	۱/۱۳	۰/۰۸	۱/۱	۱/۱۲۷	۱/۱۶	
Gd	۳	۳/۴	۲/۴	۲/۶	۲/۵	۲/۸	۱/۸	۳/۵	۳/۱	۳/۲	۳/۶
Tb	۰/۴	۰/۴	۰/۳	۰/۳	۰/۳	۰/۴	۰/۲	۰/۵	۰/۴	۰/۴	۰/۶
Dy	۱/۹	۲/۱	۱/۷	۱/۶	۱/۵	۱/۸	۱/۱	۲/۸	۲/۱	۲/۱	۳/۷
Ho	۰/۴	۰/۴	۰/۳	۰/۳	۰/۳	۰/۳	۰/۲	۰/۵	۰/۴	۰/۴	۰/۷
Er	۱	۱/۱	۰/۹	۰/۸	۰/۷	۰/۹	۰/۶	۱/۵	۱	۱	۲/۲
Tm	۰/۱۵	۰/۱۵	۰/۱۳	۰/۱۱	۰/۱۱	۰/۱۳	۰/۰۸	۰/۲	۰/۱۳	۰/۱۴	۰/۲۱
Yb	۱	۰/۹	۰/۹	۰/۷	۰/۷	۰/۸	۰/۵	۱/۲	۱	۰/۹	۲
Lu	۰/۱۵	۰/۱۵	۰/۱۴	۰/۱۱	۰/۱۱	۰/۱۳	۰/۰۸	۰/۱۹	۰/۱۴	۰/۱۳	۰/۲۲
Y	۱۱	۱۲	۱۰	۸	۹	۱۰	۶	۲۰	۱۱	۱۱	۲۱
Cs	۳/۱	۲/۴	۱	۶/۴	۱/۷	۰/۵	۰/۵	۰/۵	۱/۵	۲/۲	۱/۸
Ta	۰/۴	۰/۵	۰/۴	۰/۵	۰/۴	۰/۵	۰/۳	۰/۳	۰/۵	۰/۶	۰/۱
Hf	۲/۷	۲/۷	۲/۳	۲/۶	۲/۱	۲/۹	۱/۸	۱/۸	۲/۷	۲/۶	۱/۳

ادامه جدول ۱

Sample	NAR-1	NAR-12	KED-1	KED-8	KED-14	KED-P4	AYB-1	AYB-11	SAR-2	SAR-11	SAR-18
سنگنگاری	کوارتز دیبوریت	کوارتز دیبوریت	کوارتز دیبوریت	گرانودیبوریت	گرانودیبوریت	گرانودیبوریت	گرانودیبوریت	گرانودیبوریت	دیبوریت	گرانودیبوریت	گرانودیبوریت
SiO <sub>2</sub>	۶۴/۱۳	۶۱/۹	۶۴/۴۷	۶۸/۱۲	۶۵/۰۱	۶۸/۵۶	۶۵/۵۲	۶۶/۴۴	۴۷/۱۷	۶۷/۶۵	۶۸/۴۶
TiO <sub>2</sub>	۰/۵۱	۰/۵	۰/۴۳	۰/۵۲	۰/۴۵	۰/۴۸	۰/۴۸	۰/۴۶	۱	۰/۴	۰/۴
Al <sub>2</sub> O <sub>3</sub>	۱۶/۴۸	۱۵/۷۸	۱۶/۰۸	۱۶/۶۸	۱۶/۳	۱۷/۲۳	۱۶/۹۵	۱۶/۸۶	۱۸/۵۴	۱۵/۵۶	۱۵/۶۲
FeO	۳/۹۱	۳/۷۶	۲/۷۶	۴/۲۶	۳/۵۵	۲/۹۳	۳/۷۸	۳/۵۸	۱۱/۵۷	۳/۰۹	۳/۰۷
MnO	۰/۲۲	۰/۰۷	۰/۰۹	۰/۰۱	۰/۰۱	۰/۰۸	۰/۰۱	۰/۰۵	۰/۲۴	۰/۰۷	۰/۰۷
MgO	۱/۷۶	۱/۵۲	۳/۱۸	۰/۴	۰/۰۱	۰/۳۲	۱/۲۷	۱/۱۳	۵/۰۵	۱/۱۴	۱/۱۱
CaO	۴/۰۴	۵/۹۷	۲/۹۴	۰/۴۸	۳/۴۷	۲/۳۲	۴/۸۶	۴/۴۳	۸/۵۶	۳/۰۹	۳/۰۷
Na <sub>2</sub> O	۴/۴۱	۴/۱۸	۳/۵۸	۳/۶۶	۳/۶۶	۳/۴۷	۳/۷۸	۳/۶۹	۳/۱۲	۴/۲۷	۴/۴۵
K <sub>2</sub> O	۲/۶۱	۲/۰۲	۲/۰۴	۱/۹۵	۱/۹۹	۲/۴۹	۱/۹۵	۱/۹۹	۰/۹۳	۲/۰۶	۲/۰۱
P <sub>2</sub> O <sub>5</sub>	۰/۱۴	۰/۲۲	۰/۲۲	۰/۱۹	۰/۱۷	۰/۲۴	۰/۲۲	۰/۲۲	۰/۲	۰/۲۱	۰/۱۷
Total	۹۸/۲۱	۹۶/۴۲	۹۶/۲۹	۹۶/۲۷	۹۵/۳۲	۹۹/۱۲	۹۸/۸۲	۹۹/۰۵	۹۶/۴۸	۹۸/۳۴	۹۹/۲۳
Ba	۶۷۵	۶۲۴	۶۳۱	۱۶۰	۶۱۳	۱۶۹	۶۳۸	۶۳۸	۵۱۵	۸۲۷	۶۲۴
Rb	۵۶	۵۲	۴۱	۳۸	۲۴	۵۹	۳۹	۴۰	۲۸	۶۹	۵۲
Sr	۹۱۵	۹۵۵	۷۱۶	۵۲۲	۶۳۶	۹۰۴	۹۹۹	۹۸۸	۶۲۹	۶۲۷	۹۵۵
Zr	۱۲۶	۱۲۲	۱۰۲	۱۳۴	۹۰	۱۱۷	۱۰۲	۹۵	۶۸	۱۳۶	۱۲۲
Nb	۶	۶	۳	۶	۳	۴	۳	۳	۱	۵	۶
Ni	۲۰	۱۶	۱۷	۱۹	۱۶	۱۷	۲۰	۱۸	۱۹	۲۰	۱۷
Co	۱۰	۹	۲	۱	۵	۵	۹	۸	۳۰	۶	۹
Cr	۲۰	۲۰	۱۸	۴۰	۱۷	۲۰	۱۹	۱۸	۱۹	۲۰	۲۰
La	۲۵/۸	۲۴/۳	۲۴	۴۴/۴	۲۲/۳	۲۴/۱	۱۹/۸	۲۵/۸	۷/۹	۲۷/۳	۲۴/۳
Ce	۴۹/۸	۴۶/۵	۴۴/۴	۷۹/۷	۴۲	۴۶/۵	۳۹/۴	۱۰۰	۱۷/۴	۵۱/۱	۴۶/۵
Pr	۵/۴۶	۵/۰۹	۴/۹۸	۸/۰۹	۴/۴	۵/۱۱	۴/۴۶	۴/۸	۲/۴	۵/۴۳	۵/۰۹
Nd	۲۱	۱۹/۸	۱۷/۳	۳۰	۱۷	۱۹/۷	۱۷/۹	۱۸/۶	۱۱/۷	۲۰/۲	۱۹/۸
Sm	۲/۹	۲/۳	۳	۴/۸	۲/۹	۳/۵	۳/۳	۳/۳	۳/۳	۳/۵	۳/۳
Eu	۱/۱۲	۱/۰۳	۰/۰۸	۱/۴۹	۰/۰۸	۱/۰۴	۱/۰۱	۱/۰۲	۱/۱۶	۱/۰۱	۱/۰۳
Gd	۲/۸	۲/۶	۲/۲	۲/۲	۲/۱	۲/۷	۲/۷	۲/۷	۴/۱	۲/۶	۲/۶
Tb	۰/۴	۰/۰۳	۰/۰۳	۰/۰۳	۰/۰۳	۰/۰۳	۰/۰۴	۰/۰۳	۰/۰۶	۰/۰۳	۰/۰۳
Dy	۱/۸	۱/۸	۱/۳	۱/۳	۱/۲	۱/۶	۱/۸	۱/۷	۳/۸	۱/۶	۱/۸
Ho	۰/۰۳	۰/۰۳	۰/۲	۰/۰۲	۰/۰۲	۰/۰۳	۰/۰۳	۰/۰۳	۰/۰۸	۰/۰۳	۰/۰۳
Er	۰/۹	۰/۹	۰/۰۸	۰/۰۸	۰/۰۸	۰/۰۸	۰/۰۸	۰/۰۸	۲/۳	۰/۰۸	۰/۰۹
Tm	۰/۱۳	۰/۱۲	۰/۰۹	۰/۱	۰/۱	۰/۱۱	۰/۱۲	۰/۱۲	۰/۳۵	۰/۱۱	۰/۱۲
Yb	۰/۸	۰/۸	۰/۰۸	۰/۰۷	۰/۰۸	۰/۰۷	۰/۰۸	۰/۰۸	۲/۳	۰/۰۷	۰/۰۸
Lu	۰/۱۴	۰/۱۴	۰/۰۸	۰/۱۱	۰/۰۹	۰/۱۱	۰/۱۲	۰/۱۳	۰/۲۶	۰/۱	۰/۱۴
Y	۱۰	۱۰	۷	۷	۷	۹	۹	۹	۲۳	۹	۱۰
Cs	۱	۱/۷	۳/۲	۴/۳	۱/۸	۲/۱	۱/۲	۱/۲	۱/۳	۲/۶	۱/۷
Ta	۰/۵	۰/۵	۰/۰۳	۰/۰۴	۰/۰۳	۰/۰۴	۰/۰۴	۰/۰۳	۰/۰۲	۰/۰۶	۰/۰۵
Hf	۲/۷	۲/۷	۲/۲	۲/۸	۲	۲/۶	۲/۳	۲/۳	۱/۶	۳	۲/۷

## کتابنگاری

- احمدی پورفستگی، ح.، ۱۳۷۲- بررسی دینامیزم فعالیت‌های آتششانی کوه مزاحیم (شهربادک)، پایان‌نامه کارشناسی ارشد، دانشگاه شهید باهنر کرمان.
- اسدی پور، ع.، ۱۳۸۱- پتروگرافی، ژئوشیمی و پترولوژی توده‌ها و زیر ولکانیک کالدرای استراتوولکان مزاحیم، شرکت ملی صنایع مس ایران، شماره گزارش، ۱۴۶ ص.
- برهمند، ل.، رسوی، ج. و قربانی، م.، ۱۳۹۵- دما و فشارسنگی و ژئوشیمی توده‌های باردار و عقیم در محور دهچ- میدوک با استفاده از شیمی بیوتیت (شمال شهربادک)، پذیرش برای چاپ در مجله پژوهشناسی و کاری شناسی ایران.
- بیابانگرد، ع.، ۱۳۷۸- پتروگرافی و پترولوژی سنگ‌های نیمه آتششانی شهربادک - جوزم، پایان‌نامه کارشناسی ارشد، دانشگاه علوم زمین، دانشگاه شهید باهنر کرمان.
- پروین پور، ف.، ۱۳۸۶- مطالعات زمین‌شناسی اقتصادی کاسارهای مس پورفیری زیر زون آبدار- دهچ (شمال غرب کرمان)، پایان‌نامه کارشناسی ارشد، دانشگاه آزاد اسلامی واحد علوم و تحقیقات.
- رسوی، ج.، قربانی، م. و احمدزاده، و.، ۱۳۹۴- سنگ‌شناسی توده‌های نفوذی کمپلکس گراینتوئیدی جبال بارز (خاور و جنوب خاور جیرفت)، فصلنامه علوم زمین، شماره ۹۶، ص. ۳۰ تا ۱۶.
- عطایپور، ح. و آفتابی، ع.، ۱۳۸۸- ژئوشیمی و متالوژنی سنگ‌های کلسیمی- قلایی، شومنیتی و آدکیتی در ارتباط با کاسار سازی مس مولبیدن و رگه‌ای در کمربند آتششانی دهچ- ساردویه، کرمان، فصلنامه علوم زمین، شماره ۷۲، صص. ۱۶۱ تا ۱۷۲.
- عطایپور، ح.، ۱۳۸۶- تکوین ژئوشیمیایی و متالوژنی سنگ‌های آذرین پتاسمیم‌دار در کمربند آتششانی نفوذی دهچ- ساردویه استان کرمان با نگرش ویژه به عناصر خاص، رساله دکترای زمین‌شناسی اقتصادی، دانشگاه شهید باهنر کرمان، ۴۰۱ ص.
- قربانی، م.، ۱۳۸۶- زمین‌شناسی اقتصادی و ذخایر معدنی و طبیعی ایران، انتشارات آرین زمین، ۴۶۴ ص.
- قربانی، م.، ۱۳۸۷- ارزیابی پتانسیل های مس پورفیری در زیر زون آبدار- دهچ به مرکزیت میدوک. شرکت ملی صنایع مس ایران، شماره گزارش: ۲۷۳ ص.
- قرزوینی، ا.، ۱۳۷۱- بررسی زمین‌شناسی اقتصادی کاسار مس میدوک، پایان‌نامه کارشناسی ارشد، دانشگاه علوم زمین، دانشگاه شهید بهشتی.
- مرادیان شهربادکی، ع.، ۱۳۶۹- بررسی پترولوژی و ارزیابی اقتصادی سنگ‌های فلدسپاتوییددار شهربادک- جوزم، پایان‌نامه کارشناسی ارشد، دانشگاه تهران.

## References

- Aghazadeh, M., Hou, Z., Badrzadeh, Z and Zhou, L., 2015- Temporal-spatial distribution and tectonic setting of porphyry copper deposits in Iran: Constraints from zircon U-Pb and molybdenite Re-Os geochronology, *Ore Geology Reviews* 70, (3):385 – 406.
- Amidi, S. M., 1977- Etude géologique de la région de Natanz-Surk (Iran, Cen-tral), Thèse Ph.D., Univ. Grenoble, France, 316p.
- Barker, D. S., 1983- Igneous rocks: Prentice, Hall. 417p.
- Batchelor, R. A and Bowden, P., 1985- Petrogenetic interpretation of granitoid rocks series using multicationic parameters. *Chemical Geology*, 48(2): 43-55.
- Berberian, F. and Berberian, M., 1981- Tectono-plutonic episodes in Iran. *Geological Survey of Iran, Rep. No.52*, 565-592.
- Berberian, M. and King, G. C. P., 1981- Towards a Paleogeography and tectonic evolution of Iran. *Canadian Journal of Earth Science*, 18, 210-265.
- Berberian, F., Muir, I. D., Pankhurst, R. J. and Berberian, M., 1982- Late Cretaceous and Early Miocene Andean-type plutonic activity in northern Makran and Central Iran: *Journal of the Geological Society of London*, 139, 605-614.
- Biju-Duval, B., Dercourt, J. and Le Pichon, Y., 1977- From the Tethys Ocean to the Mediterranean seas: Editions Technique Paris, pp. 143-164.
- Boccaletti, M., et al, 1977, Neogene and Quaternary volcanism of the Bigar area (western Iran): *Bulletin of Volcanology*, 40(2): 1-12.
- Chappell, K. and Millward, M., 2000- Copper exploration in Kerman area central Iran, East Azarbaijan, NW Iran, National Geoscience Database of Iran, Tehran, Iran, 22p.
- Defant, M. J. and Drummond, M. S., 1990- Derivation of some modern arc magmas by melting of young subducted lithosphere, *Nature*, 34(4): 662-665.
- Dimitrijevic, M. D., 1973- Geology of Kerman region, *Geological Survey of Iran*, 334p.
- Emami, M. H., 1981- Géologie de la région de Qom-Aran (Iran): Contribution à l'étude dynamique et géochimique du volcanisme Tertiaire de l'Iran Central: Ph. D., Thèse, Univ., Grenoble, France, 489p.
- Etminan, E., 1977- Le porphyre cuprifère de Sarcheshmeh (Iran): Role des phases fluides dans les mécanismes d'alteration et demineralization GSI, Rept. No. 48. 249pp.
- Ewart, A., 1979- A review of the mineralogy and chemistry of Tertiary-Recent dacitic, latitic, rhyolitic and related salic volcanic rocks. In: F. Barker (Editor), *Trondhjemites, dacites, and related rocks*. Springer, Berlin, 423-492.
- Forster, H., Fesefeldt, K., Kursten, M. and Germany, F. R., 1972- Magmatic and orogenic evolution of central Iranian volcanic belt, 24th Geological Conference, Geological Survey of Iran, Section 2 , 198-210.
- Gutscher, M. A., 2002- Andean subduction styles and their effect on thermal structure and intraplate coupling, *Journal of South American Earth Sciences*, 15(2): 3-10.
- Harker, A., 1909- The natural history of igneous rocks, Methuen Publication, London, 344p.

- Haschke, M. R., Scheuber, E., Gunther, A. and Reutter, K. J., 2002- Evolutionary cycles during the Andean orogeny: repeated slab break off and flat subduction? *Terra nova*, 14, 49-55.
- Hassanzadeh, J., 1993- Metallogenic and tectonomagmatic events in the SE sector of the Cenozoic active continental margin of Central Iran, Shahr-e-Babak area, Kerman province, Ph.D. Thesis, Univ. California, 204p.
- Jung, A., Kursten, M. and Tarkian, M., 1975- Post Mesozoic volcanism in Iran and its relation to the subduction of the Afro-Arabian under Eurasian plate: Afar Monograph, 41-54 p.
- Katie, A., Chacke, T., Simonetti, A., Zachary, D. and Larry, M., 2014- A Record of Paleoproterozoic Subduction Preserved in the Northern Slave Cratonic Mantle: Sr-Pb-O Isotope and Trace-element Investigations of Eclogite Xenoliths from the Jericho and Muskox Kimberlites. *Journal of Petrology*, 55(3): 549-583. doi:10.1093/petrology/egt077.
- Maniar, P. D. and Piccoli, M., 1989- Tectonic discrimination of granitoids. *Geology Society American Bull*, 101(2): 635-633.
- Moine-Vaziri, H., Khalili-Marandi, Sh. and Brousse, R., 1991- L'importance d'un volcanisme potassique, au Miocene supérieur en Azerbaïjan (Iran): *C.R. Acad. Sci. Paris*, T. 313, Serie II, 1603-1610.
- Moores, E. M. and Twiss, R. J., 1995- Tectonics: Freeman and Company, New York, 415pp.
- Muller, D. and Groves, A., 1997- Potassic igneous rocks and associated gold-copper mineralization, Springer Verlag, 238p.
- Peccarillo, A. and Taylor, S. R., 1976- Geochemistry of the Eocene calc-alkaline volcanic rocks from the Kastamonu area northern Turkey. *Contributions to Mineralogy and Petrology*, 58(1): 63-81.
- Rasouli, J., Ghorbani, M., Ahadnejad, V. and Poli, G., 2016- Calk-alkaline magmatism of Jebal-e-Barez plutonic complex, SE Iran: Implication for subduction-related magmatic arc, *Arabian Journal of Geosciences*, (2016) 9:287, DOI 10.1007/s12517-015-2124-9.
- Shand, S. J., 1943- Eruptive Rocks, Their Genesis, Composition, Classification, and Their Relation to Ore-Deposits. John Wiley & Sons, New York, 444 pp.
- Thorpe, R. S., 1982- Andesites: orogenic andesites and related rocks: John Wiley and Sons, 724 pp.
- Ulmer, P., 2001- Partial melting in the mantle wedge- the role H<sub>2</sub>O in the genesis of mantle-derived arc-related magmas: *Physics of the Earth and Planetary Interior*, 127(3): 215-232.
- Wang, Q., Xu, J. F., Jian, P., Bao, Z., Zhad, Z., Li, C., Xiong, X. and Ma, J., 2006- Petrogenesis of adakitic porphyries in an extensional tectonic setting, Dexing, south China: Implications for the genesis of porphyry copper mineralization, *Journal of Petrology*, 47(1): 119-144.
- Wilson, M., 1989- Igneous petrogenesis a global tectonic approach, London (Unwin Hyman), 466pp.

# Review and comparing geochemistry of barren and productive hypabyssal intrusive bodies considering evidence for adakitic rocks in the Dehaj-Meiduk area (North Shahrbabak)

L. Berahmand<sup>1</sup>, M. Ghorbani<sup>2\*</sup> and S. M. Pourmaafi<sup>2</sup>

<sup>1</sup>Ph.D. Student, Department of Geology, Faculty of Geosciences, Shahid Beheshti University, Tehran, Iran

<sup>2</sup>Associate Professor, Department of Geology, Faculty of Geosciences, Shahid Beheshti University, Tehran, Iran

Received: 2016 August 30

Accepted: 2017 February 21

## Abstract

Dehaj-Meiduk area is located at North of Shahre-babak. There are nine porphyry intrusive bodies in this region, which include Meiduk, Parkam, Iejoo, Segino, Chah Firouzeh, Narkoh, Ayoub Ansar, Sara and Keder. Meiduk, Chah Firouzeh, Parkam, Iejoo and Segino are productive among them and Narkoh, Keder, Ayoub Ansar and Sara are barren. These intrusive bodies are mostly composed of porphyry diorite, quartzdiorite and granodiorite. Geochemical studies indicate that the magma of these rocks has the peraluminous to metaluminous nature and magma series are calc-alkaline with high potassium and shoshsonitic nature. The geochemical variation diagrams of major oxides and minor elements, illustrate the continuous spectrum of rock compositions for the studied samples, which indicates high crystallization differentiation during magmatic processes. Field observations, petrographic and geochemical studies suggest that the rocks in the Dehaj-Meiduk area are I type. All available data demonstrate that these rocks are result of subduction of Neotethyan oceanic crust beneath the central Iran continental crust. Flat subduction happened in some parts of the study area and because of that, partial melting rate has been low and as a result adakitic rocks are produced. The adakitic rocks have formed intrusive bodies in Pliocene. Since magma is depleted in metallic elements by forming earlier stage productive plutons, the later rocks do not contain metallic elements and are barren.

**Keywords:** Dehaj-Meiduk area, Subduction, Urumieh-Dokhtar magmatic belt, Adakitic magmatism.

For Persian Version see pages 193 to 202

\*Corresponding author: M. Ghorbani; E-mail: m\_ghorbani@hotmail.com